УДК 551.435.162(470.51)

# АНАЛИЗ МНОГОЛЕТНЕЙ ДИНАМИКИ ЛИНЕЙНОГО, ПЛОЩАДНОГО И ОБЪЕМНОГО ПРИРОСТА ОВРАГОВ НА ТЕРРИТОРИИ УДМУРТИИ

Поступила в редакцию: 08.04.2022

7 Введение

Овражная эрозия является одним из наиболее опасных природно-техногенных рельефообразующих процессов, наносящих большой ущерб земледелию и окружающему ландшафту. Овраги осуществляют размыв, транзит и аккумуляцию отложений с их водосборов, образуют отрицатель-ные линейные формы, способствуют поступлению продуктов смыва в русла временных и постоянных водотоков и вызывают заиление рек и водохрани-лищ [1, 2]. Овражная эрозия вызывает также сокращение площадей пахотных земель, разрушение строений, коммуникаций и т.п. К основным причинам развития оврагов относятся нерациональное землепользование [3] и все воз-растающая техногенная нагрузка на окружающую среду (строительство дорог и трубопроводов, уничтожение естественной растительности, неконтро-лируемый сброс воды и т.п.) [4, 5, 6]. 

Основным методом оценки активности роста оврагов является метод линейных измерений, который среди всех анализируемых является наиболее простым и наименее затратным. В основу метода положено измерение расстояний от вершины оврага до предварительно установленного репера или нескольких реперов, расположенных по линии роста оврага, а также до отдельных деревьев, столбов или строений [7, 8, 9, 10].

В полевых условиях обычно используется два метода: визуальный и инструментальный. К визуальным методам относятся рекогносцировочные работы и качественная оценка изменений на исследуемых участках [11]. Современные полевые инструментальные методы позволяют с высокой точно-

стью оценивать изменения параметров оврагов (изменение длины, глубины, 30 площади, объема и т. п.). Использование линейных измерений долгое время 31 оставалось основным и наиболее точным способом оценки роста оврагов [12-32 14]. Данный метод, с помощью которого можно получить относительно точ-33 ные данные о линейном приросте вершины оврага, даже при использовании 34 35 нескольких реперов не позволяет с достаточной точностью оценить площадной и объемный прирост вершин оврагов. Поэтому его применение целесо-36 образно только для оценки линейного прироста и выявления из нескольких 37 выбранных для наблюдения оврагов наиболее активных и интересных для 38 более детального изучения с наименьшими затратами времени и средств. 39

40

41

42

43

44

45

46

47

48

49

50

51

52

53

54

55

56

57

58

Необходимо отметить, что сеть мониторинговых наблюдений за линейным приростом оврагов в Удмуртской Республике существует с 1978 года. Выбор ключевых участков для изучения темпов регрессивного отступания вершин активно растущих оврагов различного типа осуществлялся на основе детального анализа аэрофотоснимков, полученных по результатам съемок 1957–1959 гг. На момент начала мониторинговых наблюдений в 1978 г. овраги находились на различных стадиях развития, но все продолжали расти в длину. В первые годы наблюдений количество наблюдаемых вершин оврагов составляло 120 [1]. В дальнейшем появившиеся на участках наблюдений новые овраги и активно растущие отвершки оврагов, также были включены в сеть наблюдений [15]. Одновременно расширение сети мониторинга происходило за счёт включения в него оврагов на новых участках. В настоящее время в систему мониторинга агрогенных оврагов входят 168 вершин оврагов различного типа, которые сгруппированы на 28 ключевых участках, расположенных в различных ландшафтных условиях в пределах территории Удмуртской Республики (УР).

Поскольку до сих пор мы анализировали в основном развитие овражной эрозии на основе линейного прироста вершин оврагов, то в данной статье мы впервые публикуем результаты анализа линейного, площадного и

объемного прироста за многолетний период наиболее активно растущих оврагов, полученных с применением инструментальных методов.

### Объекты исследования

В пределах территории УР распространены ландшафты южной тайги и подтаежной зоны, сильно преобразованные хозяйственной деятельностью. Междуречные пространства сложены лёссовидными делювиальносолифлюкционными суглинками, тогда как в днищах балок, прорезаемых донными оврагами, накапливаются тяжелосуглинистые отложения, смытые с приводораздельных склонов. Ряд придолинных и приводораздельных оврагов формируются в верхнепермских глинах, иногда с прослоями более прочных пород (известняков, аргиллитов, песчаников и т.п.) [16].

Для территории Удмуртии характерен умеренно теплый и влажный климат с продолжительной зимой и относительно коротким летом. Среднегодовая температура изменяется от +2.3°C на севере, до +3.5°C на юге. Средние температуры января и июля варьируют в пределах –13.3 – –11.9 °C, и +18.3 – +19.7 °C, соответственно, с выраженным трендом повышения зимних температур воздуха в зимние месяцы [17, 18]. Устойчивый снежный покров держится 155–175 дней. Среднегодовая сумма осадков составляет 500–650 мм [19]. В связи с теплыми зимами уменьшается и глубина промерзания почв. Результаты анализа по 8 метеостанциям УР за 1973-2018 гг. показали положительный тренд опасных гидрометеорологических явлений (смерчи, сильные ливни и др.) [18].

Если в 1955 г. площадь пашни в УР была максимальной, то за последующие 35 лет (1955–1990 гг.) сокращение составило менее 3%, а после 1990 г. темпы сокращения обрабатываемых пахотных угодий (посевных площадей) увеличились и в интервале 1990–2010 гг. площадь их уменьшилась почти на четверть, составив 76.5% по отношению к 1990 г. При этом за последние 30 лет посевы зерновых культур во всех категориях хозяйств республики сократились с 739 тыс. га до 406 тыс. га и соответственно возросла площадь

кормовых культур до 613 тыс. га [20]. По данным статистического сборника в 2018 году площадь посевных площадей во всех категориях хозяйств УР вновь уменьшилась и составила 86,6 % по отношению к 2005 г. Площади под кормовыми культурами остались практически на прежнем уровне [21].

Начиная с 2000-х годов на ряде активно растущих оврагов нами проводятся ежегодные измерения линейного, площадного и объемного прироста их вершинной части (рис. 1). Выбор исследуемых 6 оврагов обусловлен их активным ежегодным линейным, площадным и объемным приростом. На большинстве же других оврагов, где также использовалась тахеометрическая съемка их вершинных участков, с 2008-2010 годов прирост по разным причинам прекратился или находился близко к нулевым значениям. Поэтому продолжать детальную съемку на них не было необходимости и возможности.

Морфометрические характеристики и координаты вершин шести активно растущих оврагов, где осуществлялась тахеометрическая съемка, представлены в табличной форме в предыдущей статье [16]. Методика получения морфометрических показателей детально описана в нашей работе [1].

Приводораздельный овраг № 1 находится на ключевом участке "Вятское", который расположен между населенными пунктами Вятское и Кухтино Каракулинского района в верховьях р. Северянка. Суммарный прирост вершины оврага за 2000-2021 гг. составил 20.5 м, а за предыдущий период наблюдений (1978-1999 гг.) он вырос на 28.9 м. Максимальный годовой линейный прирост за весь период наблюдений был зарегистрирован в 1991 г и составил 2.9 м. Овраг растет одной языковидной вершиной (рис. 2а), глубина вершинного уступа в 2021 г. немного уменьшилась по сравнению с 2017 г. [16] и составила 2.4 м, аналогично уменьшилась и ширина при вершине — 7.4 м.

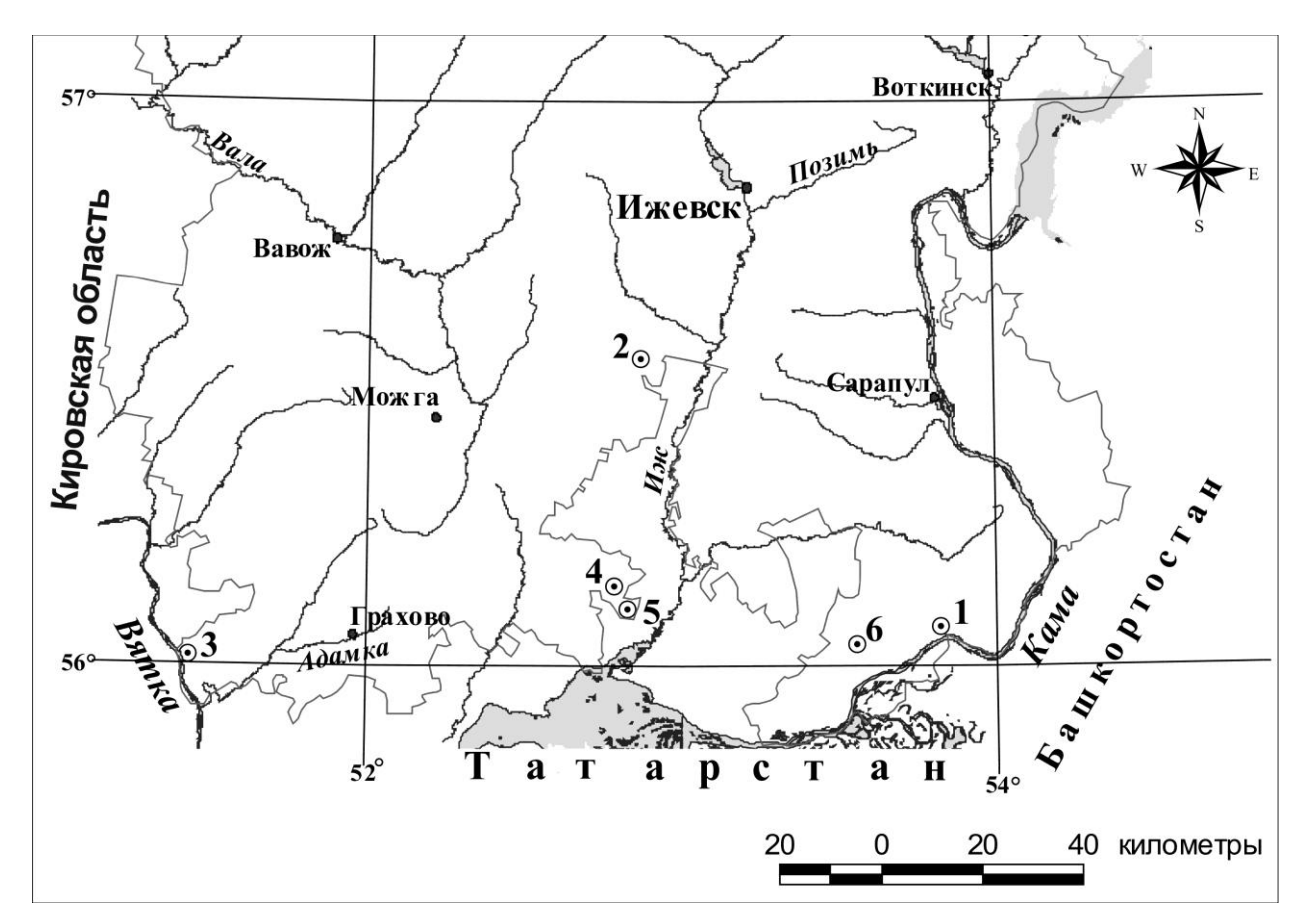


Рисунок 1 - Расположение ключевых участков по мониторингу линейного, площадного и объемного размывов различных типов оврагов в пределах территории Удмуртской Республики.

Цифрами обозначены номера оврагов и ключевых участков

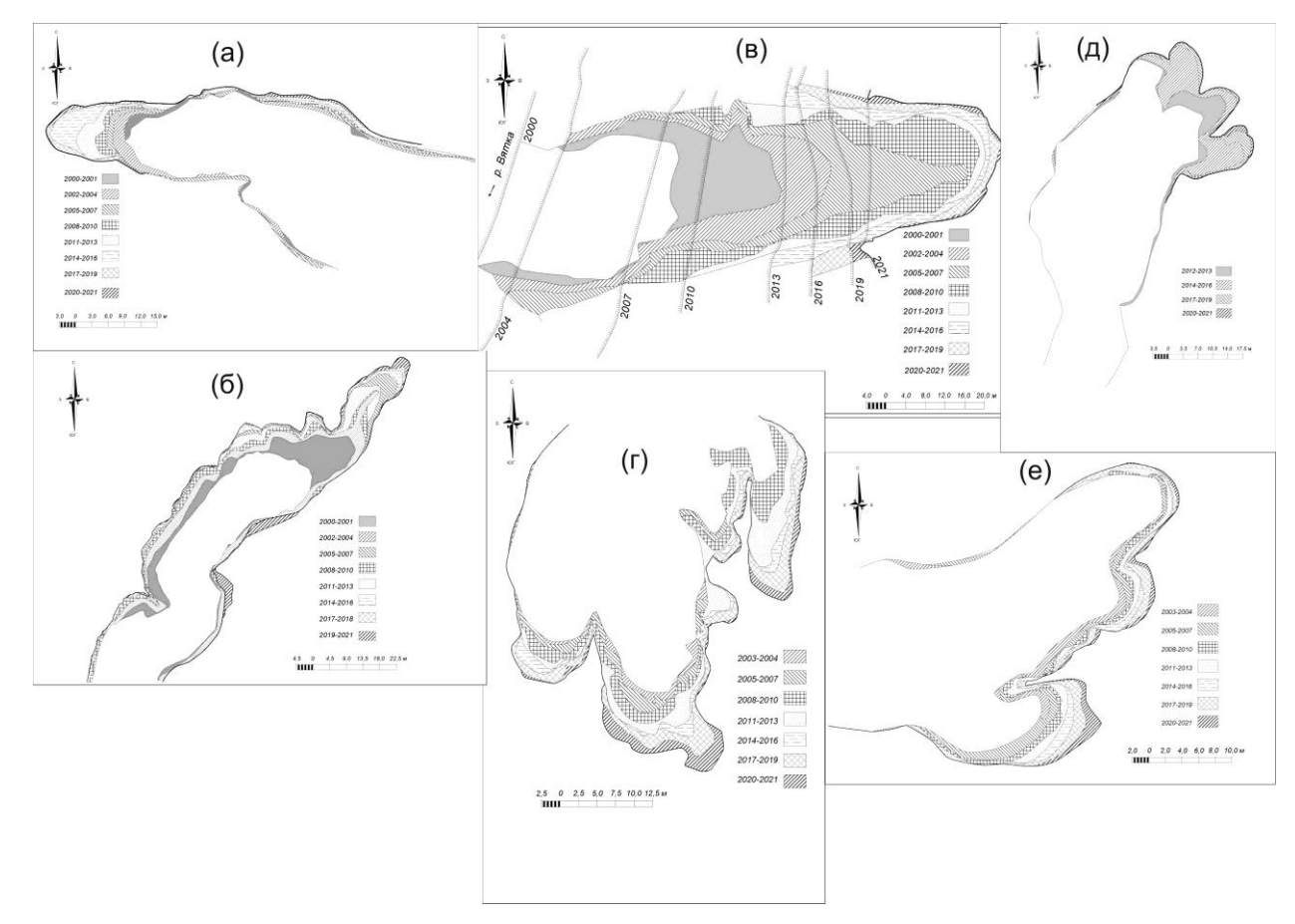


Рисунок 2 - Схемы линейного и площадного приростов верховьев оврагов: а — овраг № 1 (2000-2021 годы), б — овраг № 2 (2000-2021 годы), в — овраг № 3 (2000-2021 годы), г — овраг № 4 (2003-2021 гг.), д — овраг № 5 (2012-2021 гг.), е — овраг № 6 (2003-21 гг.)

Донный овраг № 2 находится в 700 м к северо-востоку от северной ок-раины д. Курегово Малопургинского района, в 35 км к юго-западу от центра г. Ижевск. Длина днища размываемой балки на данном участке составляет около 400 м, площадь водосбора — 0.68 км<sup>2</sup>, собственно самой балочной формы — 0.04 км<sup>2</sup>. Средняя высота водосбора — 167 м (по данным топогра-фической карты масштаба 1:25 000), размах высот рельефа — 76 м [22]. Ов-раг имеет одну вершину (рис. 26) и размывает балочный аллювий суглини-стого механического состава. Суммарный прирост вершины оврага за период тахеометрической съемки (2000 - 2021 гг.) составил 51.6 м, что немного меньше, чем за предыдущий (1978 – 1999 гг) период наблюдений (56.6 м), когда максимальный линейный прирост в 1991 г. сотавил 4.7 м. Глубина вершинного уступа варьирует в последние годы в пределах 1.8 - 1.3 м., а ши-рина на расстоянии 3 м от вершины изменяется незначительно -5.6 - 5.2 м [16]. За последние 5 лет глубина и ширина оврага при вершине постепенно уменьшаются. 

Придолинный овраг № 3 находится в с. Крымская Слудка Кизнерского района и размывает плейстоценовый перигляциальный аллювий террасы р. Вятка. Древний аллювий сложен опесчаненными желто-бурыми с палевым оттенком лёссовидными суглинками и легко размывается не только оврагами, но и руслом реки (рис. 2в). Если длина оврага в 2004 г. составляла около 60 м, в настоящее время в результате размыва рекой берегового уступа его длина сократилась до 27 м. Максимальная величина руслового размыва на этом участке за 2000 – 2021 годы составила более 70 м, а суммарный прирост оврага составил 65.8 м. Овраг имеет одну вершину, ширина его при вершине 9.2 м, глубина вершинного уступа уменьшилась до 1.8 м.

Вершинный овраг № 4 размывает днище в верхней части голоценовой балки и находится в 2 км на Ю-ЮЗ от южной окраины с. Варзи-Ятчи Алнашского района. Овраг отличается большой площадью водосбора (195 га) и на протяжении длительного времени имел 2 вершины, а с 2008 года появилась

третья, которая достаточно активно развивается в последние годы (рис. 2г). Суммарный прирост вершины оврага за последние 22 года наблюдений составил всего 25.1 м, а за предыдущий период (1978 - 1999 гг.) овраг вырос на 253.6 м. Макимальные годовые приросты были отмечены в 1979 г. (84.6 м) и в 1990 г. (28.2 м). Ширина оврага при вершине в 2021 году составила 12.5 м, а глубина вершинного уступа — 1.4 м, по сравнению с 2017 г. ширина немного увеличилась, а глубина уменьшилась [16].

162

163

164

165

166

167

168

169

170

171

172

173

174

175

176

177

178

179

180

181

182

183

Пойменный овраг № 5 расположен в 500 м к С-В от юго-восточной окраины д. Юмьяшур Алнашского района. Овраг возник на относительно широкой левобережной пойме р. Варзинка (150 – 300 м) вследствие прорывов искуственно созданной земляной запруды в устье балки с целью накопления талых вод для водопоя скота. Овраг имеет значительную площадь водосбора, совместно с балочным она составляет 164 га. Абсолютная высота ближайшего водораздела равна 162.6 м, а уровень русла реки, где возник овраг, составляет 70 м, превышение вершины оврага относительно его устья - 8 м. Таким образом, глубина местного базиса эрозии здесь составляет 92.6 м. Суммарный линейный прирост оврага за 2008 – 2021 годы составил 96 м, а в первый год прорыва земляной запруды в 2007 году он вырос на 53 м. Второй максимум прироста был зарегистрирован на следующий 2008 г. (38 м), что было связано с повторным прорывом дамбы. Общая длина оврага составляет 149 м. До 2011 г. овраг активно рос одной вершиной, в 2012 г. появилась 2-я вершина, а с 2013 г. прирост осуществляется 3-мя вершинами (рис. 2д). Максимальная глубина оврага при вершине в 2021 г. составила 2.3 м, а ее ширина в 3-х м от вершины -7.8 м. Глубина оврага в последние годы уменьшается, а ширина, наоборот – возрастает.

Приводораздельный овраг № 6 расположен в 1250 м на CB от центра с. Кулюшево Каракулинского района. Овраг первоначально возник на крутом левом склоне долины р. Кобылка (правый приток р. Кама), в последние годы вершина размывает плотный глинистый элювий коренных пород в средней

части склона приводораздельной поверхности. Поэтому суммарный линейный прирост вершины оврага за 2000 – 2021 гг. составил всего 15 м. За период же с 1978 по 1999 гг. овраг вырос на 18.3 м. Овраг растет тремя вершинами (рис. 2е). Глубина вершинного уступа в 2021 году составляла 1.3 м, ширина оврага при вершине, соответственно 7.6 м. Глубина вершинного уступа за последние 5 лет практически не изменилась, а ширина немного увеличилась [16].

Второй приводораздельный овраг на этом же ключевом участке мы исключили из анализа, поскольку он имеет техногенное происхождение и возник в результате залповых выпусков вод с площадок добычи нефти через водопропускную трубу, проложенную через дорожную насыпь и его развитие полностью контролировалось хозяйственной деятельностью [16]. На данном овраге велись преимущественно наблюдения за линейным и площадным приростом вершины, при этом за последние 5 лет прирост вершины оврага был близок к нулевым значениям или отсутствовал.

Водосборные площади практически всех наблюдаемых оврагов представлены обрабатываемыми пахотными угодьями, при этом вершины первичных оврагов практически вплотную подходят к пашне. Балочные водосборы вторичных оврагов (пойменный, донный и вершинный) также обрабатываются, где выращиваются зерновые (озимая рожь и овес) и зернобобовые культуры с чередованием кормовых и технических культур.

### Методика исследований

Для более детального изучения динамики развития оврагов используется геодезическая съемка с помощью электронного тахеометра [22, 23] и съемка с помощью наземного лазерного 3D сканера [24]. Использование наземного лазерного 3D-сканера позволяет достигать точности до долей миллиметра [25] и создавать трехмерную модель изучаемого объекта. Но при этом не стоит забывать о высокой стоимости лазерных 3D-сканеров, что является основной причиной, сдерживающей их массовое применение.

Выбор методов для оценки скорости роста оврагов зависит еще от периода времени, для которого проводятся исследования и требуемой точности конечных оценок. Обычно выделяются короткий (1–10 лет) [26, 27] и длинный (более 10 лет) временные интервалы наблюдений [28, 29]. В первом случае чаще применяют следующие методы: измерение линейного прироста вершины оврага методом реперов [22] и с помощью беспилотных летательных аппаратов [30], измерения объемов с использованием наземного лазерного сканирования [31, 32], фотограмметрии и повторных DGPS измерений (для создания цифровой модели рельефа) [30, 33, 34]. Точные методы используются обычно при исследовании механизма процессов или когда требуется максимально повысить точность значений площадного или объемного приростов.

Топографо-геодезические работы, проводимые при изучении регрессивного роста оврагов, заключаются в высокоточной тахеометрической съемке вершин, размываемых уступов, их бровок и тальвегов. На основе повторной тахеометрической съемки оцениваются линейный прирост и изменения плановой конфигурации бровок и тальвегов, их поперечного сечения по длине оврага.

Тахеометрическая съемка проводилась нами вначале с помощью отечественных оптических теодолитов Т30 и 2Т30, а с 2001 года начали применяться лазерные электронные тахеометры "Trimble 3305", затем "Nicon NPR-332".

Для всех рассматриваемых 6 оврагов вначале были рассчитаны корреляционные связи между ежегодными линейными, площадными и объемными величинами их прироста на каждом из ключевых участков. На втором этапе были установлены корреляционные связи между величинами прироста оврагов и гидрометеорологическими факторами за период с 2000 по 2017 гг. [16].

Поскольку не всегда рассматриваемые зависимости являются прямолинейными, то, наряду с обычным коэффициентом корреляции (r), были вы-

числены и дополнительные показатели — корреляционное отношение ( $\eta$ ) и квадрат корреляционного отношения ( $\eta^2$ ). Проверка гипотезы о форме связи между анализируемыми переменными осуществлялась с помощью критериев Блекмана и Фишера [35].

### Результаты и обсуждения

Линейный прирост приводораздельного оврага №1 за рассматриваемый период изменялся от нулевого значения в 2005 г. до 2.3 м в 2011 г., значения же площадного прироста варьировали от 1.5 м² в 2020 г. до 25,4 м² в 2003 г. Статистический анализ данных линейного и площадного приростов данного оврага показал наличие не высокой, но надежной связи между ними (r = 0,629; η=0,525; η²=0,276). В целом отмечается более плавное изменение площадного прироста, в отличие от линейного, для последнего характерна более резкая амплитуда изменения величин по годам. Асинхронными являются изменения рассматриваемых показателей в 2003, 2006, 2013 и 2021 годах (рис. За).

Связь же линейного прироста с объемным оказалась более слабой (r = 0.429;  $\eta = 0.477$ ;  $\eta^2 = 0.228$ ), что подтверждают и соответствующие графики (рис. 4а). При анализе графиков видно, что асинхронными были изменения соответствующих показателей в 2003, 2006, 2011, 2013 и 2021 годах. В отличие от линейного и площадного приростов, объем размыва в 2011 году по сравнению с предыдущим годом несколько снизился, что и отражается на графике. Уменьшение объемного прироста легко объяснить уменьшением глубины размыва и преобладанием аккумуляции в днище оврага по сравнению с предыдущим годом. С другой стороны, очевидной является очень высокая связь между площадным и объемным приростом оврага за рассматриваемый период (r = 0.852). Площадной и объемный размывы находятся в более тесной зависимости между собой, чем с линейным размывом, что подтверждается и на других оврагах. Вариация по годам величин площадного и объемного размывов может быть обусловлена чередованием преобладания

271 процессов бокового или глубинного размывов, что не всегда бывает син-272 хронным, а иногда отмечается их асинхронность.

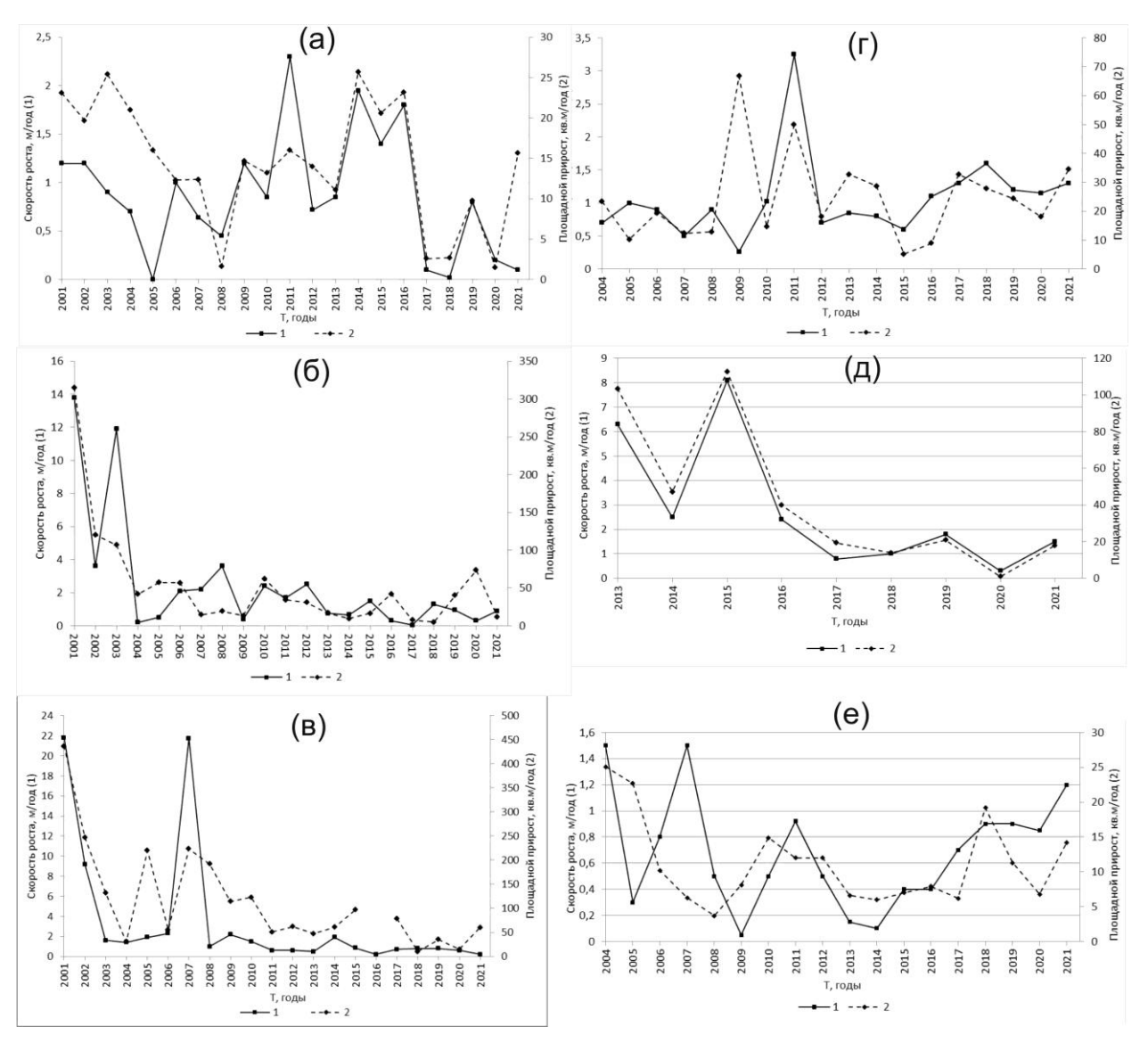


Рисунок 3 - Графики изменения линейного (1) и площадного (2) прироста вершинной части оврагов: а — овраг № 1 (2001-2021 гг.), б — овраг № 2 (2001-2021 гг.), в — овраг № 3 (2001-2021 гг.), г — овраг № 4 (2004-2021 гг.), д — овраг № 5 (2013-2021 гг.), е — овраг № 6 (2004-2021 гг.)

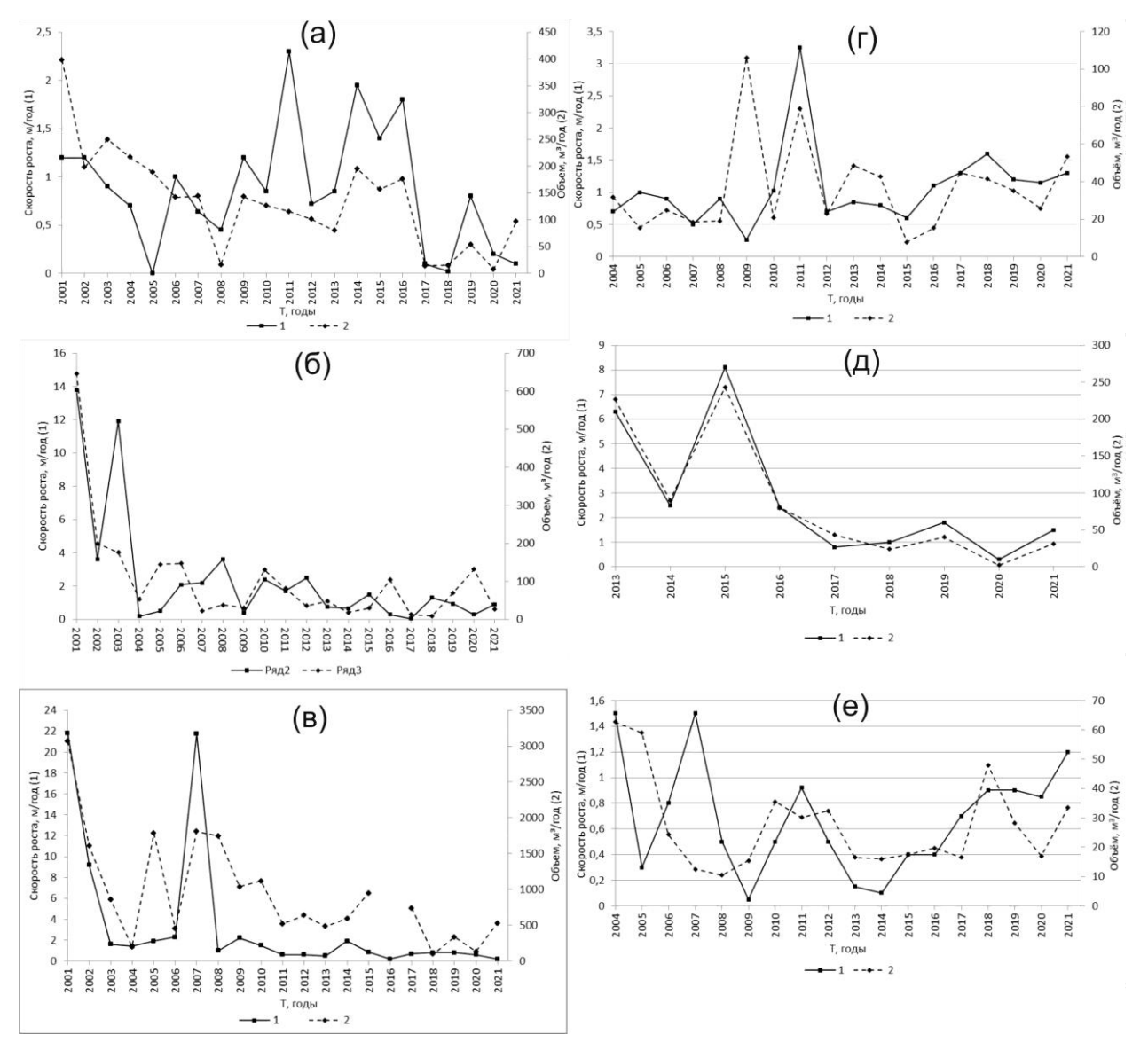


Рисунок 4 - Графики изменения линейного (1) и объемного (2) прироста вершинной части оврагов: а — овраг № 1 (2001-2021 гг.), б — овраг № 2 (2001-2021 гг.), в — овраг № 3 (2001-2021 гг.), г — овраг № 4 (2004-2021 гг.), д — овраг № 5 (2013-2021 гг.), е — овраг № 6 (2004-2021 гг.)

Линейный и площадной приросты вершинной части донного оврага № 2 за рассматриваемый период имеют общую тенденцию к затуханию (рис. 36). Максимальный прирост отступания вершины оврага был отмечен в 2001 году и составил 13.8 м. Площадной прирост вершинной части оврага в этот год также был наибольшим – 315.4 м², что хорошо видно и на схеме (рис. 26).

291

292

293

294

295

296

297

298

299

300

301

302

303

304

305

306

307

308

309

310

311

312

313

314

315

316

317

318

В последующие же годы наблюдений линейный и площадной приросты оврага не всегда коррелировали между собой по величине. Заметим здесь, что экстремальный прирост оврага мог быть частично связан с геоморфологическими особенностями поверхностей, где он развивается. Так, в днище исследованного нами водосбора балки в 2001 и 2003 гг. имел аномально высокие (в 3-6 раз выше, чем в предшествующие и последующие годы) темпы прироста вершины, что в немалой степени могло быть связано с размывом и последующим обрушением тоннелей, возникших благодаря развитию процессов суффозии в днище долины балки непосредственно выше по течению от его вершины. Аналогичный процесс оврагообразования был описан и на Боровском полигоне МГУ им. М.В. Ломоносова при стационарных наблюдениях с 1985 по 1999 годы [36]. Судя по конфигурации контура площадного прироста этого оврага, такой сценарий вполне мог иметь место весной 2003 г. при значительном талом стоке. Такое же несоответствие между линейным и площадным приростом вершинной части оврага наблюдалось в 2004 году, когда был отмечен минимальный линейный прирост (0.2 м), а площадной прирост был существенным (41.8 м<sup>2</sup>). Аналогичная ситуация была отмечена в 2020 году, когда при линейном приросте 0.3 м площадной прирост был почти в 2 раза выше предыдущего случая (73,6 м<sup>2</sup>), что возможно объяснить лишь за счет размыва или обрушения нависающих карнизов бровок на его склонах (рис. 36). Несмотря на это, корреляционный анализ показал, что связь между линейным и площадным приростом вершинной части оврага оказалась достаточно высокой (r=0.819,  $\eta=0.577$ ,  $\eta^2=0.332$ ), что обычно характерно для одновершинных оврагов. Аналогичная картина наблюдается при сопоставлении линейного и

Аналогичная картина наблюдается при сопоставлении линейного и объемного прироста оврага (рис. 4б). Максимальные объемы размыва отмечены в годы с наибольшим линейным приростом, исключением, как и в предыдущем случае, являются 2004 и 2020 годы, когда при минимальных линейных приростах были зафиксированы достаточно высокие значения объемы

емного прироста. Корреляционный анализ выявил высокую связь между линейным и объемным приростом оврага за 21 летний период (r=0.786,  $\eta$ =0.527,  $\eta$ <sup>2</sup>=0.278). Соответственно, связь между площадным и объемным приростом оврага за рассматриваемый период оказалась очень высокой (r=0.989).

319

320

321

322

323

324

325

326

327

328

329

330

331

332

333

334

335

336

337

338

339

340

341

342

343

344

345

346

347

График изменения линейного и площадного приростов оврага № 3 показывает, что за рассматриваемый период синхронность этих показателей не всегда проявляется. Максимальные показатели, как и в предыдущем случае, отмечены в 2001 году, когда вершина оврага отступила на 21.8 м, а площадь размыва составила 436.7 м<sup>2</sup> (рис. 3в). Высокий показатель линейного прироста оврага был отмечен также в 2007 году, хотя площадной прирост был в 2 раза меньше максимального. Существенное сокращение линейного прироста оврага наблюдается с 2011 года, что связано с сооружением при вершине оврага противоэрозионной земляной дамбы с водопропускной трубой диаметром около 700 мм. Рост вершины в основном происходил за счет обрушения крутых вершинных уступов или нависающих карнизов, а прирост площади и объема был связан с размывом и обрушением крутых склонов оврага, частично вызванных и боковым размывом р. Вятка в период половодья. На графике отчетливо прослеживается синхронность между значениями линейного и площадного прироста, исключениями являются лишь 2006, 2009, 2015 и 2021 годы. Зависимость между рассматриваемыми показателями также оказалась высокой (r=0.792,  $\eta=0.514$ ,  $\eta^2=0.265$ ), что является характерным, как и в предыдущем случае, для одновершинных оврагов, независимо от типа и особенностей их водосборных площадей.

График изменения линейного и объемного прироста по характеру рисунка почти тождественен предыдущему: высокие значения объемов размыва были отмечены в 2001 и 2007 гг., а минимальные — в 2018 и 2020 гг (рис. 4в). Совпадают также и годы, когда изменения линейного прироста оврага были синхронны или наоборот, асинхронны объемному размыву. Корреляционная связь между рассматриваемыми показателями также оказалась высокой

 $(r=0.756, \eta=0.337, \eta^2=0.113)$ . Не вызывает сомнений и очень высокая корреляционная связь между площадным и объемным приростом оврага за анализируемый период (r=0.984).

348

349

350

351

352

353

354

355

356

357

358

359

360

361

362

363

364

365

366

367

368

369

370

371

372

373

374

375

376

На графике связь между линейным и площадным приростом вершинной части оврага № 4 проявляется недостаточно четко (рис. 3г). Здесь, в отличие от предыдущих оврагов, максимальный линейный прирост был зарегистрирован в 2011 году (3.3 м), а наибольший прирост площади был в 2009 году, но и в 2000 и 2001 годах линейные приросты были существенными и чуть превышали 2 м. Как показывает график, вершинный овраг имеет тенденцию к активизации за 2015-2021 годы, при этом высокий прирост был отмечен в 2018 году (1.6 м), в последующие 2 года темпы роста немного снизились, а в 2021 г. вновь отмечается активизация (1.3 м). Здесь необходимо отметить, что в последний год наблюдения значения площадного и объемного приростов оказались выше, чем в 2018 г. Тенденция активизации развития вторичных (донных и вершинных) оврагов обнаруживается и на других ключевых участках УР. Более значительные темпы прироста донных и вершинных оврагов позволяют предположить, что, несмотря на резкое сокращение или почти полное исчезновение поверхностного стока со склонов, вследствие увеличения теплых зим, в днищах сухих долин, где формируются донные врезы, в период снеготаяния происходит выклинивание внутрипочвенного стока. Именно он в основном формирует временные водотоки, способствующие постепенному регрессивному отступанию вершин донных оврагов [37]. Исследования 90 овражных систем в Португалии также показали, что они выросли в основном за счет массовых размывов отложений в привершинных и боковых стенках, под влиянием подповерхностных вод [38].

Анализ графика показывает, что вариации линейного и площадного приростов вершинного оврага в 2005, 2006, 2009 и 2018 годах были асинхронными, при этом максимум отмечен в 2009 г. Статистический анализ между линейным и площадным приростом оврага за рассматриваемый период

подтвердил отсутствие достоверной положительной связи между ними  $(r=0.280, \eta=0.864; \eta^2=0.746)$ , что хорошо видно и на графике (рис. 3г).

Выше рассмотренный график по внешнему виду практически не отличается от графика связи линейного и объемного прироста оврага (рис. 4г). Здесь также максимальный объем размыва был отмечен в 2009 году и связан с активным развитием отвершков в восточной части от основного оврага, при этом отмечалось увеличение и глубины размыва. В результате чего корреляционный анализ показал отсутствие связи между линейным и объемным приростом оврага (r=0.289, n=0.866;  $\eta^2$ =0.750).

В отличие от выше рассмотренных связей, зависимость между площадным и объемным приростом оврага оказалась весьма высокой, как и на других ключевых участках (r=0.995), что является очевидным.

Анализ графика (рис. 3д) свидетельствует о синхронности изменений линейного и площадного приростов пойменного оврага № 5 за последние 9 лет (2013 – 2021 гг.). Максимальные линейные приросты были отмечены в 2013 (6.3 м) и в 2015 гг. (8.1 м), затем скорости постепенно снижаются, достигая минимума в 2020 г. (0.3 м), возможно в этот год не было прорыва земляной плотины пруда. На следующий год линейный размыв вновь стал значительным, достигнув 1.5 м. Точно таким же образом изменялись и площадные приросты оврага, поэтому корреляционный анализ подтвердил очень высокую связь между ними (г=0.985; η=0.976; η²=0.953). Практически не отличается от выше рассмотренного и график зависимости линейнного прироста от объемного (рис. 4д), что подтверждается и очень высокой корреляционной связью между ними (г=0.984; η=0.976; η²=0.953). Учитывая полученные очень высокие показатели связи, нет сомнения и в наличии такой же тесной связи между площадными и объемными размывами за рассматриваемый период (г=0.999)

В отличие от всех выше рассмотренных, приводораздельный овраг № 6 имеет положительный тренд за последние 5 лет, в то время как в предыдущие

406 6 лет линейный и площадной приросты были минимальными [16]. Максимальный линейный прирост (1.5 м) отмечался в 2000, 2004 и 2007 годах, за-407 тем скорости снижались до минимума в 2009 и 2014 годах, после отмечается 408 409 тенденция возрастания скоростей до следующего максимума (1.2 м) в 2021 г. Связь между линейным и площадным приростом оврага за 2004 – 2021 гг. 410 оказалась недостаточно тесной (r=0.348;  $\eta=0.580$ ;  $\eta^2=0.336$ ), что можно объ-411 яснить более активным ростом его отвершков. В последние годы более ин-412 тенсивно растут вторая и третья вершины, расположенные южнее главной 413 414 (ниже по склону). Причина асинхронности линейного и площадного приростов в отдельные годы объясняется здесь тем, что главная вершина начала 415 416 размывать более прочные коренные породы и линейный прирост резко уменьшился, а основной сток с водосбора был направлен по новой полевой 417 дороге, которая была смещена в сторону от главной вершины. В результате 418 этого более интенсивно начался размыв второй и особенно третьей вершины, 419 420 куда направлялся весь сток, при этом они развиваются в легко размываемых 421 делювиально-солифлюкционных суглинках, обеспечивая, соответственно, значительный площадной и объемный размывы. Асинхронность показателей 422 отчетливо прослеживается только в 2014 и в меньшей степени в 2015 годах 423 (рис. 3е). 424

Корреляционный анализ показал, что связь между линейным и объемным приростом оврага слабая, как и в предыдущем случае (r=0.326;  $\eta$ =0.603;  $\eta$ <sup>2</sup>=0.363). Анализ графиков свидительствует (рис. 4e), что площади и объемы размывов по годам изменяются почти тождественно, о чем указывает и очень высокий коэффициент корреляции между ними (r=0.993).

425

426

427

428

429

430

431

432

433

434

Во всех вышеперечисленных случаях расчеты критериев Блекмана и Фишера показали отсутствие значимых криволинейных связей между рассматриваемыми показателями. Отсутствие связи для вершинного оврага с активно растущими отвершками можно объяснить только перераспределением стока по ширине днища балки, что может быть вызвано формированием но-

вых ложбин стока, возникающих при обработке пахотных земель на значительном по площади водосборе, что подтверждают и полевые наблюдения.

В пределах исследуемой территории склоновый сток формируется в период весеннего снеготаяния и при выпадении интенсивных ливней в теплое время года. Исследованиями в 70-90-х годах прошлого века было установлено, что на большей части Русской равнины, включая и восточные регионы около 80% прироста оврагов происходит за счет весеннего снеготаяния и лишь около 20% составляет доля ливневого стока [1,2, 16, 39, 40]. Совершенно другая картина отмечается в Восточной Сибири. По данным наблюдений Ю.В. Рыжова [41] в Юго-Западном Прибайкалье с 1985 по 1995 гг. выявлено, что 70% годового прироста оврагов приходится на летний период и только 30% - на весенний. Данные инструментальных наблюдений за линейным и площадным приростом 2-х оврагов в Баргузинской котловине с 1985 по 2009 годы также показали их асинхронность, при этом в годы отсутствия линейного прироста обнаруживался существенный площадной прирост [41]. По данным исследований других авторов более 80% годового линейного прироста оврагов в Забайкалье приходится на летне-осенний период [42, 43].

Данные мониторинга (1981-1996 гг.) за приростом вершин оврагов в восточной Румынии позволили оценить вклад талого и ливневого стока в 57% и 43% соответственно [44]. При этом более 66% суммарного прироста вершин произошло за 4 года, которые характеризовались выпадением сильных ливней или значительным стоком в период снеготаяния. При этом средний прирост вершины оврага за период 1961-1990 гг. составил 12.5 м/год, что сопровождалось средним ростом площади оврага на 366.8 м²/год. Автор отмечает, что активизация овражной эрозии после 1960-х годов, наряду с гидрометеорологическими факторами, также связана со значительными изменениями в землепользовании [44, 45]. Непосредственные измерения стока воды и наносов и линейного роста донных оврагов на Люблинской возвышенности

465

466

467

468

469

470

471

472

473

474

475

476

477

478

479

480

481

482

483

484

485

486

487

488

489

490

491

492

в Польше в период 2003-2005 гг. выявил доминирование (86%) талого стока, как основной причины отступания вершин. Однако анализ гидрометеорологических данных и предшествующих наблюдений показал, что на самом деле вклад в линейный прирост оврагов аномально интенсивных ливней значительно выше, чем талого стока [46]. В Китае на холмисто-овражном районе Лессового плато были исследованы 31 овраг на активной стадии для количественного описания морфологии и установления эмпирических уравнений для оценки объема оврага на основе длины и площади его поверхности с использованием 3D-лазерного сканирования. Полученные зависимости будут использованы при оценке степени опасности от овражной эрозии [47]. Результаты статистического анализа 724 оврагов в разных регионах мира показывают, что измеренные приросты вершин оврагов значительно коррелируют с площадью оврага и нормой дождливого дня (многолетний среднегодовой слой осадков, деленный на среднее количество дождливых дней). Другие факторы (например, землепользование или тип почвы) не показали существенной корреляции с наблюдаемыми показателями прироста вершин, что может быть связано с неопределенностями при точной количественной оценкой этих факторов [48]. Правда, по данным исследований 20 оврагов, созданных в различных почвенных условиях на сельскохозяйственных полях Наварры и Леона (Испания) и Сицилии (Италия) указывается на высокую роль и почвенного фактора [49].

Детальный анализ роли гидрометеорологических показателей за 1998 – 2016 годы в линейном и площадном приросте вершин рассматриваемых оврагов был приведен в нашей предыдущей статье [16]. Поскольку обнаружилась очень тесная корреляционная зависимость между площадным и объемным приростом оврагов, то отдельно анализировать влияние гидрометеорологических факторов на объемный прирост нет необходимости.

Учитывая, что в рассматриваемый период происходили как климатические изменения, связанные с потеплением климата, особенно повышение

температуры воздуха в зимние месяцы, так и сокращения площади пашни (обрабатываемых посевных площадей), максимум которого пришелся на период 1990–2010 гг. [20], можно утверждать, что именно данные факторы сказались на общем уменьшении темпов прироста оврагов в последние годы.

497 Заключение

493

494

495

496

498

499

500

501

502

503

504

505

506

507

508

509

510

511

512

513

514

515

516

517

518

519

520

521

Использование линейных измерений на протяжении достаточно длительного периода оставалось основным и наиболее точным способом оценки роста оврагов. При этом способе можно получить относительно точные данные о линейном приросте вершины оврага, но даже при использовании нескольких реперов он не позволяет с достаточной точностью оценить площадной и объемный прирост вершин оврагов. Топографо-геодезические работы, проводимые при изучении регрессивного роста оврагов, заключаются в высокоточной тахеометрической съемке вершин, размываемых уступов, их бровок, поперечного сечения на разных участках, а также тальвегов исследуемых оврагов. С начала 2000-х годов на 5 активно растущих оврагах различного типа (2 приводораздельных, придолинный, донный и вершинный) проводятся ежегодные измерения линейного, площадного и объемного прироста вершин, в 2013 г. к ним был добавлен еще и пойменный овраг техногенного происхождения. Для большинства исследуемых оврагов максимальные размывы наблюдались в 2001 году, когда линейные приросты варьировали в пределах 2.3 - 21.8 м, площадные, соответственно – от 23.1 до 436.7 $M^2$ , а объемные – от 398 до 3068  $M^3$ , но были и исключения, когда линейные приросты имели максимум в 2011 г., что было отмечено для приводораздельного оврага № 1 и вершинного оврага № 4. Анализ результатов многолетнего изучения линейного, площадного и объемного прироста вершинной части различных типов оврагов показал, что в большинстве случаев проявляется отчетливая зависимость между рассматриваемыми показателями, что наиболее характерно для пойменного оврага с коротким (2013-2021 гг.) периодом наблюдения. Здесь связь линейного прироста с площадным (r=0.985) и объ522 емным (r=0.984) размывами оказалась очень высокой. Достаточно высокой 523 получилась связь линейнного прироста с площадным (r=0.819) и объемным размывами (r=0.792) у донного одновершинного оврага на участке "Курего-524 525 во". Высокая положительная связь линейного прироста с площадным (r=0.792) и объемным размывами (r=0.756) отмечена у придолинного оврага 526 на правом склоне долины р. Вятка ("Крымская Слудка"), несмотря на обва-527 лование его вершины. Умеренная связь линейного прироста с площадным 528 (r=0.629) и объемным размывами (r=0.429) оказалась у приводораздельного 529 одновершинного оврага на ключевом участке "Вятское". Очень слабая поло-530 жительная связь линейнного прироста с площадным (r=0.348) и объемным 531 размывами (r=0.326) обнаружилась у приводораздельного оврага, растущего 532 тремя вершинами на участке "Кулюшево". Не обнаружена связь линейнного 533 534 прироста как с площадным (r=0.280), так и с объемным размывами (r=0.289) только у вершинного оврага ("Варзи-Ятчи"), растущего в верховьях днища 535 536 голоценовой балки тремя вершинами, что объясняется формированием новых ложбин стока, возникающих при обработке пахотных земель на водо-537 сборе и более интенсивным развитием его отвершков. Во всех случаях отме-538 539 чается плавное изменение по годам площадного и объемного приростов и достаточно резкое колебание величин линейного прироста вершин оврагов, 540 независимо от типа и их морфометрических особенностей. Для всех рассмат-541 риваемых оврагов выявлена очень высокая связь между площадным и объ-542 543 емным приростом, что является очевидным. Асинхронность линейного, пло-544 щадного и объемного приростов исследуемых оврагов не совпадает по годам 545 и не всегда связана с гидрометеорологическими показателями. Здесь сущест-546 венное влияние могут оказявать склоновые процессы, инициированные вы-547 ходом верховодки и грунтовых вод в днище оврага, а в некоторых случаях и суффозия. Зависимость их ежегодного прироста от условий земплепользова-548 ния на водосборе и их морфолого-морфрометрических особенностей досто-549 550 верно не установлена.

г		1
2	2	1

- 552 Благодарности. Работа выполнена при финансовой поддержке Все-
- 553 российской общественной организации "Русское географическое общество"
- 554 (Договор № 31/2020-Р).
- Acknowledgements. The reported study was funded by the All-Russian
- public organization "Russian Geographical Society" (Agreement no. 31/2020-R).

### 558 СПИСОК ЛИТЕРАТУРЫ

559

- 560 1. Рысин И.И. Овражная эрозия в Удмуртии. Ижевск: Изд-во Удмурт. ун-
- та, 1998. 274 с.
- 562 2. География овражной эрозии. Под ред. Е.Ф. Зориной. М.: Изд-во МГУ,
- 563 2006. 324 c
- 564 3. Григорьев И.И., Рысин И.И. Исследования техногенных и сельскохо-
- 565 зяйственных оврагов в Удмуртии // Вестник Удмуртского университета. Се-
- 566 рия Биология. Науки о Земле. 2006. Вып. 2. С. 83–91.
- 567 4. Григорьев И.И. Пространственно-временной анализ скоростей роста
- 568 техногенных оврагов на территории Удмуртии // Эрозия почв, овражная эро-
- 569 зия, русловые процессы: теоретические и прикладные вопросы. М: Изд-во
- 570 МГУ, 2011. С. 90–99.
- 571 5. Рысин И.И., Григорьев И.И., Зайцева М.Ю. Результаты исследований
- 572 овражной эрозии в Удмуртии за последние два десятилетия // Наука Удмур-
- 573 тии. 2015. № 3. С. 150 164.
- 574 6. Григорьев И.И., Рысин И.И. Техногенные овраги на территории Удмур-
- 575 тии. Казань: Изд-во Удмурт. ун-та, Изд-во AH PT, 2017. 190 c.
- 576 7. Болысов С.И., Тарзаева Н.В. Метеорологический фактор в развитии
- 577 регрессивной эрозии на юго-западе Подмосковья // Геоморфология. 1996. №
- 578 4. C. 97 103.

- 579 8. Григорьев И.И. Использование программного комплекса «Credo» для
- 580 определения объемов и площадей оврагов // Вестник Удмуртского универси-
- тета. Серия «Биология. Науки о Земле». 2009. Вып. 2. С. 141–145.
- 582 9. Рыжов Ю.В. Овражная эрозия в межгорных котловинах Юго-
- 583 Западного Прибайкалья // Геоморфология. 1998. № 3. С. 68-73.
- 584 10. Назаров Н.Н. Овражная эрозия в Прикамье. Пермь: Изд-во Перм. ун-та,
- 585 1992. 104 c.
- 586 11. *Рычагов Г.И.* Общая геоморфология. М.: Изд-во Моск. ун-та, 2006. 416
- 587 C.
- 588 12. Дедков А.П., Рысин И.И., Чернышева Т.Н. Овражная эрозия на пахот-
- 589 ных землях Европы // Геоморфология. 1993. № 2. С. 3–13.
- 590 13. Зорина Е.Ф., Никольская И.И., Ковалев С.Н. Методика определения ин-
- 591 тенсивности роста оврагов // Геоморфология. 1993. №3. С. 66–75.
- 592 14. Коротина Н.М. Скорость роста оврагов в Ульяновском Поволжье //
- 593 Геоморфология. 1981. №4. С. 78–83.
- 594 15. Рысин И.И. О современном тренде овражной эрозии в Удмуртии //
- 595 Геоморфология. 1998. № 3. С. 92–101.
- 596 16. Григорьев И.И., Рысин И.И. Оценка линейного и площадного прироста
- 597 оврагов с применением инструментальных методов (на примере Удмуртии) //
- 598 Геоморфология. 2021. Том 52, № 3. С. 64–78.
- 599 17. Переведенцев Ю.П., Шерстюков Б.Г., Шанталинский К.М., Гурьянов
- 600 В.В., Аухадеев Т.Р. Климатические изменения в Приволжском федеральном
- 601 округе в XIX XXI веках // Метеорология и гидрология. 2020. № 6. С. 36–46.
- 602 18. Переведенцев Ю.А., Шумихина А.В., Шанталинский К.М., Гурьянов
- 603 В.В. Опасные гидрометеорологические явления на территории Приволжского
- 604 федерального округа // Метеорология и гидрология. 2019. № 12. С. 20–30.
- 605 19. Атлас Удмуртской Республики (под ред. И.И. Рысина). М.: Изд-во
- 606 "Феория", 2016. 282 с.

- 607 20. Акмаров П.Б., Князева О.П., Рысин И.И. Агроклиматический потенциал
- 608 эффективности земледелия // Вестник Удмуртского ун-та. Сер. Биология.
- 609 Науки о Земле. Вып. 2., 2014. С.89 96.
- 610 21. Сельское хозяйство Удмуртской Республики (Территориальный орган
- 611 Федеральной службы государственной статистики по УР). Ижевск: 2019.
- 612 *122 c*.
- 613 22. Гусаров А., Рысин И.И., Шарифуллин А. Г., Голосов В.Н. Оценка совре-
- 614 менного тренда эрозионно-аккумулятивных процессов в малом распахивае-
- 615 мом водосборе с использованием цезия-137 в качестве хрономаркера (юг
- 616 Удмуртской Республики) // Геоморфология. 2019. № 2. С. 37 56.
- 617 23. Сатдаров А.З. Методы исследования регрессивного роста оврагов:
- 618 достоинства и недостатки // Уч. записки Казанского университета. Сер. Есте-
- 619 ственные науки. 2016. № 158(2). С. 277–292.
- 620 24. Usmanov B., Yermolaev O., Gafurov A. Estimates of slopeerosion intensity
- utilizing terrestrial laser scanning // Proceedings of the International Association of
- 622 Hydrological Sciences. 2015. (367). P. 59–65.
- 623 25. Гафуров А.М., Усманов Б.М. Оценка интенсивности и динамики поч-
- 624 венной эрозии методом наземного лазерного сканирования // Эрозионные,
- 625 русловые и устьевые процессы (исследования молодых ученых университе-
- 626 тов). 2016. С. 81–90
- 627 26. Frankl A., Stal C., Abraha A., Nyssen J., Rieke-Zapp D., De Wulf A., Poesen
- 628 J. Detailed recording of gully morphology in 3D through image-based modelling.
- 629 Catena, 2015. (127). P. 92-101.
- 630 27. Marzolff I., Ries J.B., Poesen J. Short-term versus mediumterm monitoring
- for detecting gully-erosion variability in a Mediterranean environment // Earth Sur-
- face Processes and Landforms. 2011. № 12(36). P. 1604–1623.
- 633 28. Rishikeshan C.A., Katiyar S.K., Mahesh V.N.V. Detailed Evaluation of DEM
- Interpolation Methods in GIS Using DGPS Data // 2014 International Conference
- on Computational Intelligence and Communication Networks. 2014. P. 666–671.

- 636 29. Li W., Fu H., Yu L., Gong P., Feng D., Li C., Clinton N. Stacked
- Autoencoder-based deep learning for remote-sensing image classification: a case
- study of African land-cover mapping // International J. Remote Sensing. 2016. №
- 639 23(37). P. 5632–5646.
- 640 30. Гафуров А.М., Рысин И.И., Голосов В.Н., Григорьев И.И., Шарифуллин
- 641  $A.\Gamma$ . Оценка современного роста вершин оврагов южного мегасклона Вос-
- 642 точно-Европейской равнины с применением набора инструментальных мето-
- 643 дов // Вестник Моск. ун-та, Сер. 5. География. 2018. № 5. С 61-71.
- 644 31. Kociuba W., Janicki G. Rodzik J., Stępniewski K. Comparison of volumetric
- and remote sensing methods (TLS) for assessing the development of a permanent
- 646 forested loess gully // Natural Hazards. 2015. № S1 (79). P. 139-158.
- 647 32. Caraballo-Arias, N.A. Morphometric and hydraulic geometry assessment of
- a gully in SW Spain / N.A. Caraballo-Arias, C. Conoscenti, C. Di Stefano, V. Fer-
- ro, A. Gymez-Gutierrez // Geomorphology, 2016. No. 274. P. 143-151.
- 650 33. Chen, Y. Accuracy Assessment of the Planar Morphology of Valley Bank
- 651 Gullies Extracted with High Resolution Remote Sensing Imagery on the Loess
- Plateau / Y. Chen, J. Jiao, Y. Wei, H. Zhao, W. Yu, B. Cao, H. Xu, F. Yan, D. Wu,
- 653 H. Li// Int. J. Environ. Res. Public Health, China, 2019. № 16. 369 p.
- 654 34. Khoboso Elizabeth Seutloali, Heinz Reinhard Beckedahl, Timothy Dube &
- 655 Mbulisi Sibanda (2016) An assessment of gully erosion along major armoured
- roads in south-eastern region of South Africa: a remote sensing and GIS approach,
- Geocarto International, 31:2. P. 225-239.
- 658 35. *Лакин Г.Ф.* Биометрия. М.: Высшая школа, 1990. 352 с.
- 659 36. Веретенникова М.В., Зорина Е.Ф., Ковалев С.Н., Любимов Б.П. Ста-
- 660 ционарные исследования процессов оврагообразования на Боровском учеб-
- 661 но-научном полигоне географического факультета МГУ // Эрозия почв и ру-
- 662 словые процессы. Вып. 14. Научный ред. Р.С. Чалов. М. 2003. С. 76-92.

- 663 37. Рысин И.И., Григорьев И.И., Зайцева М.Ю., Голосов В.Н. Линейный
- 664 прирост оврагов Вятско-Камского междуречья на рубеже XX И XXI столетий
- 665 // Вестник Моск. ун-та, Сер. 5. География. 2017. № 1. С. 63 72.
- 38. Rafaello, B.; Reis, E. Controlling factors of the size and location of large
- gully systems: A regression based exploration using reconstructed pre-erosion to-
- 668 pography. Catena 2016, 147, 621–631.
- 669 39. Бутаков Г.П., Зорина Е.Ф., Никольская И.И., Рысин И.И., Серебренни-
- 670 кова И.А., Юсупова В.В. Тенденции развития овражной эрозии в Европейской
- 671 России // Эрозионные и русловые процессы. М.: Изд-во МГУ, 2000. Вып. 3.
- 672 C. 52–62.
- 673 40. Овражная эрозия востока Русской равнины (под ред. А.П. Дедкова).
- 674 Казань: Изд-во Казан. ун-та, 1990. 144 с.
- 675 41. Рыжов Ю.В. Формирование оврагов на юге Восточной Сибири / РАН,
- 676 Сибирское отд-ние, Институт географии им. В.Б. Сочавы. Новосибирск: Ака-
- 677 дем. изд-во «Гео», 2015. 180 с.
- 678 42. Базарова Л.Д. Эрозионные формы рельефа Чикойской впадины // Гео-
- огия, палеовулканология и рельеф Забайкалья. Улан-Удэ, 1986. С. 153-162.
- 680 43. Тармаев В.А. Интенсивность образования линейной эрозии в бассейне
- 681 р. Куналейки (Забайкалье) // География и природные ресурсы. 1992. № 1. С.
- 682 98-102.
- 683 44. *Ionita I.* Gully development in the Moldavian Plateau of Romania // Catena.
- 684 2006. Vol. 68. P. 133–140.
- 685 45. *Ionita, I.* Gully development in eastern Romania: a case study from Falciu
- 686 Hills / I. Ionita, L. Niacsu, G. Petrovici, A.M. Blebea-Apostu // Nat Hazards. 2015.
- 687 No. 79(1). P. 113-138.
- 688 46. Rodzik J., Furtak T., Zglobicki W. The impact of snowmelt and heavy rain-
- fall runoff on erosion rates in a gully system, Lublin Upland, Poland // Earth Sur-
- 690 face Processes and Landforms, 2009. Vol. 34. № 14. P. 1938–1950.

- 691 47. Ximeng Xu, Fenli Zheng, Chao Qin, and Hongyan Wu Active stage gully
- morphological characteristics in the Loess Hilly-gully Region based on 3D laser
- scanning technique // Submitted Abstracts 7th International Symposium on Gully
- 694 Erosion 23-27 may 2016, West Lafayette, USA. P. 24 25.
- 695 48. Vanmaercke, M., Poesen, J., Van Mele, B., Demuzere, M., Bruynseels, A.,
- 696 Golosov, V., Bezerra, J.F.R., Bolysov, S., Dvinskih, A., Frankl, A., Fuseina, Y.,
- 697 Guerra, A.J.T., Haregeweyn, N., Ionita, I., Makanzu Imwangana, F., Moeyersons,
- 698 J., Moshe, I., Nazari Samani, A., Niacsu, L., Nyssen, J., Otsuki, Y., Radoane, M.,
- 699 Rysin, I., Ryzhov, Y.V., Yermolaev, O. How fast do gully headcuts retreat? // Earth-
- 700 Science Reviews, 2016. №154. P. 336–355.
- 701 49. Paul Ollobarren, Rafael Giménez, Miguel A. Campo-Bescós, and Javier Casalí
- Soil factors controlling gully erosion: an experimental approach // Submitted Ab-
- stracts 7th International Symposium on Gully Erosion 23-27 may 2016, West
- Lafayette, USA. P. 20.

### 705 REFERENCE

- 706 1. Rysin I. I. Ovrazhnaya erozia v Udmurtii (Gully erosion in Udmurtia).
- 707 Izhevsk: UdSU (Publ.), 1998. 274 p (in Russ.).
- 708 2. Geographia ovrazhnoy erozii. Pod red. E.F. Zorinoy. (Geography of gully
- erosion. Ed. by E.F. Zorinoy). Moscow: MSU (Publ.), 2006. 324 p (in Russ.).
- 3. Grigorev I. I., Rysin I. I. *Issledovaniya tehnogennyh I selskohozyaistvennih*
- 711 ovragov v Udmurtii (Research of technogenic and agricultural ravines in
- 712 Udmurtia). Vestnik Udm. Un-ta. Ser. Biol. Nauki o Zemle. 2006. Iss. 2. P. 83-91
- 713 (in Russ.).
- 714 4. Grigorev I. I. Prostranstvenno-vremennoy analiz skorostey rosta
- 715 tehnogennyh ovragov na territorii Udmurtii (Spatiotemporal analysis of growth
- 716 rates of technogenic ravines on the territory of Udmurtia). Erozia pochy,
- ovrazhnaya erozia, ruslovye process: teoreticheskie I prikladnie voprosi. Moscow:
- 718 MSU (Publ.), 2011. P. 90 99 (in Russ.).
- 719 5. Rysin I. I., Grigorev I. I., Zaitseva M. Yu. Rezultaty issledovaniya ovrazhnoy
- 720 erozii v Udmurtii za poslednie dva desyatiletiya (Results of research of gully ero-
- sion in Udmurtia for the last two decades). Nauka Udmurtiya. No. 3 (73), 2015.
- 722 P.150 164 (in Russ.).
- 6. Grigorev I. I., Rysin I. I. Tehnogennye ovragi na territorii Udmurtii
- 724 (Technogenic ravines on the territory of Udmurtia). Kazan: Izd-vo Udmurt. Un-ta,
- 725 Izd-vo Akademii nauk RT. 2017. 190 p (in Russ.).
- 726 7. Bolysov S. I., Tarzaeva N. V. Meteorologicheskiy faktor v razvitii
- 727 regressivnoy erozii na yugo-zapade Moskvi (Meteorological factor in the develop-
- 728 ment of regressive erosion in the South-West of the Moscow region).
- 729 Geomorphologiya. 1996. No. 4. P. 97-103 (in Russ.).
- 730 8. Grigorev I. I. Ispolzovanie programmnogo kompleksa «Credo» dlya
- opredeleniya obyemov I ploshcadey ovragov (Using the software complex "Credo"
- to determine the volume and area of ravines). Vestnik Udm. Un-ta. Ser. Biol.
- 733 Nauki o Zemle. 2009. Iss. 2. P. 141-145 (in Russ.).

- 734 9. Ryzhov Yu.V. Ovrazhnaya eroziya v mezhgornyh kotlovinah Yugo-
- Zapadnogo Pribajkal'ya (Gully erosion in the intermountain basins of the South-
- western Baikal Region). Geomorfologiya. 1998. No 3. P. 68-73(in Russ.).
- 737 10. Nazarov N.N. Ovrazhnaya eroziya v Prikam'e (Gully erosion in Prikam'e).
- 738 Perm: Izd-vo Perm. un-ta, 1992. 104 p (in Russ.).
- 739 11. Rychagov G. I. Obshaya geomorphologiya (General geomorphology). Mos-
- 740 cow: MSU. 2006. 416 p (in Russ.).
- 741 12. Dedkov A. P., Rysin I. I., Chernysheva T. N. Ovraghnaya erozia na
- 742 pahotnyh zemlyah Evropy (Gully erosion on arable lands of Europe).
- 743 Geomorphologiya. 1993. No. 2. P. 3-13 (in Russ.).
- 744 13. Zorina E. F., Nikolskaya I. I., Kovalev S. N. Metodika opredeleniya
- 745 intensivnosti rosta ovragov (Method for determining the intensity of growth of ra-
- vines). Geomorphologiya. 1993. No. 3. P. 66-75 (in Russ.).
- 747 14. Korotina N. M. Skorost rosta ovragov v Ulyanovskom Povolzhye (The
- growth rate of ravines in the Ulyanovsk Volga region). Geomorphologiya. 1981.
- 749 No. 4. P. 78-83 (in Russ.).
- 750 15. Rysin I. I. O sovremennom trende ovrazhnoj erozii v Udmurtii (About the
- current trend of gully erosion in Udmurtia). Geomorfologiya. 1998. No 3. P. 92-
- 752 101 (in Russ.).
- 753 16. Grigorev I.I., Rysin I.I. Ocenka linejnogo i ploshchadnogo prirosta ovragov
- s primeneniem instrumental'nyh metodov (na primere Udmurtii) (Assessment of
- linear and areal growth of ravines using instrumental methods (on the example of
- 756 Udmurtia) // Geomorfologiya. 2021. Tom 52, No 3. P. 64–78 (in Russ).
- 757 17. Perevedencev YU.P., Sherstyukov B.G., Shantalinskij K.M., Guryanov
- 758 V.V., Auhadeev T.R. Klimaticheskie izmeneniya v Privolzhskom federal'nom
- 759 okruge v XIX XXI vekah (Climatic changes in the Volga Federal District in the
- 760 XIX XXI centuries) // Meteorologiya i gidrologiya. 2020. No 6. P. 36–46 (in
- 761 Russ).

- 762 18. Perevedencev Yu.A., Shumihina A.V., Shantalinskij K.M., Guryanov V.V.
- 763 Opasnye gidrometeorologicheskie yavleniya na territorii Privolzhskogo
- 764 federal'nogo okruga (Dangerous hydrometeorological phenomena on the territory
- of the Volga Federal District) // Meteorologiya i gidrologiya. 2019. No 12. P. 20–
- 766 30 (n Russ).
- 767 19. Atlas Udmurtskoj Respubliki (pod red. I.I. Rysina). (Atlas of the Udmurt Re-
- public) M.: Izd-vo "Feoriya", 2016. 282 p (in Russ.).
- 769 20. Akmarov P.B., Knyazeva O.P., Rysin I.I. Agroklimaticheskij potencial
- 770 effektivnosti zemledeliya (Agroclimatic potential of agricultural efficiency) //
- 771 Vestnik Udmurtskogo un-ta. Ser. Biologiya. Nauki o Zemle. Iss. 2, 2014. P.89 96
- 772 (in Russ.).
- 773 21. Selskoe hozyajstvo Udmurtskoj Respubliki (Territorialnyj organ Federalnoj
- sluzhby gosudarstvennoj statistiki po UR) (Agriculture of the Udmurt Republic
- 775 (Territorial body of the Federal State Statistics Service for UR). Izhevsk: 2019. 122
- 776 p (in Russ).
- 777 22. Gusarov A., Rysin I. I., Sharifullin A. G., Golosov V. N. Otzenka
- 778 sovremennogo trenda erozionno-akkumulyativnih processov v malom
- raspahivaemom vodosbore s ispolzovaniem ceziya-137 v kachestve hronomarkera
- 780 (yug Udmurtskoy Respubliki) (Assessment of the current trend of erosion-
- accumulative processes in a small ploughed watershed using caesium-137 as a
- chronomarker (South of the Udmurt Republic). Geomorphologiya. 2019. No. 2. P.
- 783 37 56 (in Russ.).
- 784 23. Satdarov A. Z. Metody issledovanya regressivnogo rosta ovragov:
- 785 dostoinstvs I nedostatki (Methods of research of regressive growth of ravines: ad-
- vantages and disadvantages). Uch. Zapiski Kazan. Un-ta. Ser. Estestv. nauki. 2016.
- 787 No. 158(2). P. 277–292 (in Russ.).
- 788 24. Usmanov B., Yermolaev O., Gafurov A. Estimates of slopeerosion intensity
- viilizing terrestrial laser scanning. Proceedings of the International Association of
- 790 *Hydrological Sciences*. 2015. (367). P. 59–65. (in Russ.)

- 791 25. Gafurov, A. M., Usmanov B. M. Otzenka intensivnosti I dinamiki
- 792 pochvennoy erozii metodom nazemnogo lazernogo skanirovaniya (Evaluation of
- 793 intensity and dynamics of soil erosion by method of terrestrial laser scanning).
- Erozionniye, rusloviye I ustyeviye process. Moscow: MSU (Publ.). 2016. P. 81–90
- 795 (in Russ.).
- 796 26. Frankl A., Stal C., Abraha A., Nyssen J., Rieke-Zapp D., De Wulf A.,
- Poesen J. Detailed recording of gully morphology in 3D through image-based
- 798 modelling. *Catena*. 2015. (127). P. 92-101.
- 799 27. Marzolff I., Ries J.B., Poesen J. Short-term versus mediumterm monitoring
- for detecting gully-erosion variability in a Mediterranean environment. Earth Sur-
- 801 face Processes and Landforms. 2011. No. 12(36). P. 1604–1623.
- 802 28. Rishikeshan C.A., Katiyar S.K., Mahesh V.N.V. Detailed Evaluation of
- DEM Interpolation Methods in GIS Using DGPS Data. International Conference
- on Computational Intelligence and Communication Networks. 2014. P. 666–671.
- 29. Li W., Fu H., Yu L., Gong P., Feng D., Li C., Clinton N. Stacked
- Autoencoder-based deep learning for remote-sensing image classification: a case
- study of African land-cover mapping. *International J. Remote Sensing*. 2016. No.
- 808 23(37). P. 5632–5646.
- 30. Gafurov A.M., Rysin I. I., Golosov V. N., Grigorev I. I., Sharifullin A. G.
- 810 Otzenka sovremennogo rosta vershin ovragov uzhnogo megasklona Vostochno-
- 811 Evropeyskoy ravniny s primeneniem nabora instrumentalnyh metodov. (Estimation
- of the modern growth of the ravine tops of the southern megasclone of the East Eu-
- ropean plain using a set of instrumental methods). Vest. Mosk. Un-ta, Ser. 5.
- 814 Geogr. 2018. No. 5. P. 61-71 (in Russ.).
- 815 31. Kociuba W., Janicki G. Rodzik J., Stępniewski K. Comparison of volumetric
- and remote sensing methods (TLS) for assessing the development of a permanent
- forested loess gully. *Natural Hazards*. 2015. No. S1 (79). P. 139-158.

- 818 32. Caraballo-Arias, N.A. Morphometric and hydraulic geometry assessment of
- a gully in SW Spain / N.A. Caraballo-Arias, C. Conoscenti, C. Di Stefano, V. Fer-
- ro, A. Gymez-Gutierrez // Geomorphology, 2016. No. 274. P. 143-151.
- 33. Chen, Y. Accuracy Assessment of the Planar Morphology of Valley Bank
- Gullies Extracted with High Resolution Remote Sensing Imagery on the Loess
- Plateau / Y. Chen, J. Jiao, Y. Wei, H. Zhao, W. Yu, B. Cao, H. Xu, F. Yan, D. Wu,
- 824 H. Li// Int. J. Environ. Res. Public Health, China, 2019. № 16. 369 p.
- 825 34. Khoboso Elizabeth Seutloali, Heinz Reinhard Beckedahl, Timothy Dube &
- Mbulisi Sibanda (2016) An assessment of gully erosion along major armoured
- roads in south-eastern region of South Africa: a remote sensing and GIS approach,
- Geocarto International, 31:2. P. 225-239.
- 35. Lakin G. F. *Biometriya* (Biometrics). Moscow: Vyssshaya shkola. 1990. 352
- 830 p (in Russ.).
- 831 36. Veretennikova M.V., Zorina E.F., Kovalev S.N., Lyubimov B.P.
- 832 Stacionarnye issledovaniya processov ovragoobrazovaniya na Borovskom
- uchebno-nauchnom poligone geograficheskogo fakulteta MGU (Stationary studies
- of the processes of ravine formation at the Borovsky educational and scientific
- training ground of the Faculty of Geography of Moscow State University) Eroziya
- pochv i ruslovye processy. Iss. 14. Nauchnyj red. R.S. Chalov. M. 2003. P. 76-92
- 837 (in Russ.).
- 838 37. Rysin I.I., Grigorev I.I., Zaitseva M.Yu., Golosov V.N. Lineiniy prirost
- 839 ovragov Vyatsko-Kamskogo mezhdurechia na rubeghe XX I XXI stoletiy (Dynam-
- ics of the linear retreat of gully heads within the Vyatka-Kama interfluve at the
- turn of 20<sup>th</sup> century). Vest. Mosk. Un-ta. Ser. 5. Geogr. 2017. No. 1. P. 63-72 (in
- 842 Russ.).
- 843 38. Rafaello, B., Reis, E. Controlling factors of the size and location of large
- gully systems: A regression based exploration using reconstructed pre-erosion to-
- pography. Catena 2016, 147, P. 621–631.

- 846 39. Butakov G.P., Zorina E.F., Nikolskaya I.I., Rysin I.I., Serebrennikova I.A.,
- Yusupova V.V. Tendencii razvitiya ovrazhnoj erozii v Evropejskoj Rossii (Trends
- in the development of gully erosion in European Russia). Erozionnye i ruslovye
- processy. M.: Izd-vo MGU, 2000. Iss. 3. P. 52–62 (in Russ.).
- 850 40. Ovrazhnaya eroziya vostoka Russkoj ravniny (pod red. A.P. Dedkova). (Ra-
- vine erosion of the East of the Russian Plain (ed. by A.P. Dedkov). Kazan: Izd-vo
- 852 Kazan. un-ta, 1990. 144 p (in Russ).
- 853 41. Ryzhov Yu.V. Formirovanie ovragov na yuge Vostochnoj Sibiri (Formation
- of ravines in the south of Eastern Siberia). RAN, Sibirskoe otd-nie, Institut
- geografii im. V.B. Sochavy. Novosibirsk: Akadem. izd-vo «Geo», 2015. 180 p (in
- 856 Russ.).
- 857 42. Bazarova L.D. Erozionnye formy relefa Chikojskoj vpadiny (Erosive land-
- 858 forms of the Chikoy Depression). Geologiya, paleovulkanologiya i relef
- 859 Zabajkalya. Ulan-Ude`, 1986. P. 153-162 (in Russ.).
- 860 43. Tarmaev V.A. Intensivnost obrazovaniya linejnoj erozii v bassejne r.
- 861 *Kunalejki (Zabajkale)* (The intensity of the formation of linear erosion in the basin.
- 862 Kounalaki (Transbaikalia)). Geografiya i prirodny'e resursy'. 1992. № 1. P. 98-
- 863 102 (in Russ.).
- 44. Ionita I. Gully development in the Moldavian Plateau of Romania // Catena.
- 865 2006. Vol. 68. P. 133–140.
- 45. Ionita, I. Gully development in eastern Romania: a case study from Falciu
- Hills / I. Ionita, L. Niacsu, G. Petrovici, A.M. Blebea-Apostu // Nat Hazards. 2015.
- 868 No. 79(1). P. 113-138.
- 869 46. Rodzik J., Furtak T., Zglobicki W. The impact of snowmelt and heavy rain-
- fall runoff on erosion rates in a gully system, Lublin Upland, Poland // Earth Sur-
- 871 face Processes and Landforms, 2009. Vol. 34. № 14. P. 1938–1950.
- 47. Ximeng Xu, Fenli Zheng, Chao Qin, and Hongyan Wu Active stage gully
- morphological characteristics in the Loess Hilly-gully Region based on 3D laser

- scanning technique // Submitted Abstracts 7th International Symposium on Gully
- 875 Erosion 23-27 may 2016, West Lafayette, USA. P. 24 25.
- 48. Vanmaercke, M., Poesen, J., Van Mele, B., Demuzere, M., Bruynseels, A.,
- Golosov, V., Bezerra, J.F.R., Bolysov, S., Dvinskih, A., Frankl, A., Fuseina, Y.,
- Guerra, A.J.T., Haregeweyn, N., Ionita, I., Makanzu Imwangana, F., Moeyersons,
- J., Moshe, I., Nazari Samani, A., Niacsu, L., Nyssen, J., Otsuki, Y., Radoane, M.,
- 880 Rysin, I., Ryzhov, Y.V., Yermolaev, O. How fast do gully headcuts retreat? Earth-
- 881 Science Reviews, 2016. №154. P. 336–355.
- 882 49. Paul Ollobarren, Rafael Giménez, Miguel A. Campo-Bescós, and Javier
- 883 Casalí Soil factors controlling gully erosion: an experimental approach // Submit-
- ted Abstracts 7th International Symposium on Gully Erosion 23-27 may 2016,
- West Lafayette, USA. P. 20.

## АНАЛИЗ МНОГОЛЕТНЕЙ ДИНАМИКИ ЛИНЕЙНОГО, ПЛОЩАДНОГО И ОБЪЕМНОГО ПРИРОСТА ОВРАГОВ НА ТЕРРИТОРИИ УДМУРТИИ

886

887

888

889 Рассматриваются инструментальные методы изучения линейного, площадного и объемного роста оврагов на сельскохозяйственных землях за 890 891 период с начала 2000-х до 2021 гг. Инструментальные методы исследования включали плановую геодезическую съемку вершинной части оврагов, вклю-892 чая бровки, тальвег и поперечные профили с применением электронного та-893 хеометра. Объекты исследования включают б оврагов различного типа (при-894 водораздельные, придолинный, вершинный, донный и пойменный), разви-895 896 вающихся в пределах 6 ключевых участков, где их водосборные площади являются пахотными угодьями, используемыми под посевы зернобобовых и 897 898 кормовых культур. Основной целью исследований является выявление связи между линейным, площадным и объемным приростом оврагов в зависимости 899 900 от их морфолого-морфометрических характеристик и особенностей водосборов. Для большинства рассматриваемых оврагов максимальные размывы на-901 блюдались в 2001 году, когда линейные приросты вершин варьировали в 902 пределах 2.3 - 21.8 м, площадные – от 23.1 до 436.7 м<sup>2</sup>, а объемные, соответ-903 ственно - от 398 до 3068 м<sup>3</sup>, но были и исключения, когда линейные прирос-904 ты имели максимум в 2011 г. Установлено, что в большинстве случаев про-905 является отчетливая зависимость между рассматриваемыми показателями, 906 что наиболее характерно для для пойменного оврага с коротким (2013-2021 907 гг.) периодом наблюдения. Здесь связь линейного прироста с площадным 908 909 (r=0.985) и объемным (r=0.984) размывами оказалась очень высокой. Достаточно высокой получилась связь линейнного прироста с площадным 910 (r=0.819) и объемным размывами (r=0.792) у донного одновершинного оврага 911 на участке "Курегово". Высокая положительная связь линейного прироста с 912 площадным (r=0.792) и объемным размывами (r=0.756) отмечена у придо-913 линного оврага на правом склоне долины р. Вятка ("Крымская Слудка"), не-914

916

917

918

919

920

921

922

923

924

925

926

927

928

929

930

931

932

933

934

935

смотря на обвалование его вершины. Умеренная связь линейного прироста с площадным (r=0.629) и объемным размывами (r=0.429) оказалась у приводораздельного одновершинного оврага на ключевом участке "Вятское". Очень слабая положительная связь линейнного прироста с площадным (r=0.348) и объемным размывами (r=0.326) обнаружилась у приводораздельного оврага, растущего тремя вершинами на участке "Кулюшево". Не обнаружена связь линейнного прироста как с площадным (r=0.280), так и с объемным размывами (r=0.289) только у вершинного оврага ("Варзи-Ятчи"), растущего в верховьях днища голоценовой балки тремя вершинами, что объясняется более интенсивным развитием его отвершков. Для всех рассматриваемых оврагов выявлена очень высокая связь между площадным и объемным приростом. Асинхронность линейного, площадного и объемного приростов исследуемых оврагов не всегда связана с гидрометеорологическими факторами, что можно объяснить влиянием склоновых процессов, а в некоторых случаях и суффозией. Выявлено плавное изменение по годам площадного и объемного размывов и достаточно резкое колебание величин линейного прироста вершин оврагов, независимо от типа и их морфолого-морфометрических особенностей. Зависимость их ежегодного прироста от условий земплепользования на водосборе и их морфолого-морфрометрических особенностей не выявлена.

*Ключевые слова:* рост оврагов, инструментальная съемка, мониторинг, корреляционный анализ.

### ANALYSIS OF LONG-TERM DYNAMICS OF LINEAR, AREAL AND VOLUMETRIC GROWTH OF GULLYES ON THE TERRITORY OF UDMURTIA

939

940

941

942

943

944

945

946

947

948

949

950

951

952

953

954

955

956

957

958

959

960

961

962

963

964

936

937

938

The Instrumental methods of studying linear, areal and volumetric growth of gullyes on agricultural lands over the period from the early 2000s to 2021 are considered. The Instrumental research methods included a planned geodetic survey of the top part of the gullyes, including the edges, the talweg and transverse profiles using an electronic tachometer. The objects of the study include 6 gullyes of various types (at the watershed, near-valley, top, bottom and floodplain), developing within 6 key areas, where their catchment areas are arable land used for crops of legumes and fodder crops. The main purpose of the research is to identify the relationship between the linear, areal and volumetric growth of gullies, depending on their morphological and morphometric characteristics and features of the watersheds. For most of the gullyes under consideration, the maximum washouts were observed in 2001, when the linear headcuts retreat varied in the limits of 2.3 - 21.8 m, the area - from 23.1 to 436.7 m<sup>2</sup>, and the volume, respectively, from 398 to 3068 m<sup>3</sup>, but there were exceptions when the linear increments had a maximum in 2011. It was found that in most cases there is a clear dependence between the considered indicators, which is most typical for a floodplain gully with a short (2013-2021) observation period. Here, the relationship of linear growth with area (r=0.985) and volume (r=0.984) washouts turned out to be very high. The relationship of linear growth with areal (r=0.819) and volumetric washouts (r=0.792) at the bottom of a single-top gully on the "Kuregovo" site turned out to be quite high. A high positive relationship of linear growth with areal (r=0.792) and volumetric erosion (r=0.756) was noted at the near-valley gully on the right slope of the valley of the Vyatka River ("Crimean Sludka"), despite the earthen rampart of its top. A moderate relationship of linear growth with areal (r=0.629) and volumetric washouts (r=0.429) was found at the single-top gully in the key areal "Vyatskoye". A

966

967

968

969

970

971

972

973

974

975

976

977

978

979

980

981

982

very weak positive relationship of linear growth with areal (r=0.348) and volumetric washouts (r=0.326) was found at the watershed gully growing with three headcuts on the Kulyushevo site. No connection was found between linear growth with both areal (r=0.280) and volumetric erosion (r=0.289) only at the top gully ("Varzi-Yatch") growing in the upper reaches of the Holocene gulch bottom with three headcuts, which is explained by the more intensive development of its screwdrivers. For all the gullyes under consideration, a very high correlation was found between the area and volume growth. The asynchrony of the linear, area and volume increments of the studied gullyes is not always associated with hydrometeorological factors, which can be explained by the influence of slope processes, and in some cases by suffusion. A smooth change over the years of areal and volumetric erosion and a rather sharp fluctuation in the values of the linear growth of the the headcuts of gullyes, regardless of the type and their morphological and morphometric features, were revealed. The dependence of their annual growth on the conditions of land use in the catchment area and their morphological and morphometric features has not been revealed.

Keywords: growth of ravines, instrumental survey, monitoring, correlation analysis.